

مجله مخاطرات محیط طبیعی، سال ششم، شماره سیزدهم، پاییز ۱۳۹۶

تاریخ دریافت مقاله: ۱۳۹۵/۶/۱۰

تاریخ پذیرش مقاله: ۱۳۹۶/۲/۰۳

صفحات: ۴۸ - ۳۱

## ارزیابی خطر فرسایش آبی حوضه آبخیز طالقان رود با استفاده از مدل ICONA

مژگان انتظاری<sup>۱\*</sup>، فاطمه خدادادی<sup>۲</sup>

### چکیده

فرسایش خاک یکی از مهم ترین مسائل زیست محیطی، کشاورزی و تولید غذا در جهان محسوب می شود و تأثیرات مخربی به تمام اکوسیستم های طبیعی و تحت مدیریت انسان دارد لذا یافتن راه حل های سریع و به موقع الزامی به نظر می رسد. از جمله این راه حل ها کاربرد مدل ICONA می باشد که توسط انجمن علمی حفاظت از طبیعت اسپانیا ارایه شده است. در میان بسیاری از روش ها برای پیش بینی فرسایش با استفاده از GIS و RS، نتایج شبیه سازی این مدل به صورت همگانی پذیرفته شده است. این تحقیق سیمای فرسایش آبی حوضه آبخیز طالقان رود را به شکل موردنی بررسی قرار داده و وضعیت فرسایش خاک و پهنه بندی آن را نشان میدهد. این مدل دارای هفت مرحله می باشد که در ابتدا نقشه شیب و نقشه زمین شناسی و در ادامه از همپوشانی لایه شیب و زمین شناسی، لایه فرسایش پذیری خاک تهیه می شود. در مراحل بعدی، نقشه کاربری با استفاده از تکنیک های سنجش از دور و نقشه پوشش گیاهی با استفاده از شاخص NDVI تهیه شده است. در ادامه، با همپوشانی لایه کاربری اراضی و پوشش گیاهی نقشه حفاظت خاک بدست می آید. در گام آخر؛ لایه فرسایش پذیری خاک و لایه حفاظت خاک همپوشانی شده و نقشه خطر فرسایش پذیری را می سازند. نتایج این پژوهش نشان داد که از کل سطح حوضه، ۹,۳٪ کلاس خطر فرسایش خیلی کم، ۱۲,۷٪ کلاس خطر فرسایش کم، ۲۲,۴٪ کلاس خطر فرسایش متوسط، ۱۸,۹٪ کلاس خطر فرسایش زیاد و ۳۶,۷٪ کلاس خطر فرسایش بسیار زیاد را به خود اختصاص داده اند.

واژگان کلیدی: خطر فرسایش، پهنه بندی، سنجش از دور، ICONA، طالقان رود.

## مقدمه

فرسایش کنده شدن و جا به جا شدن تدریجی خاکدانه‌ها و مواد موجود در سطح زمین در اثر عواملی نظیر آب باد نیروی ثقل... است. فرسایش خاک یکی از عوامل زیست محیطی کشاورزی و تولید غذا در جهان محسوب می‌شود و تاثیرات محرابی بر تمام اکوسیستم‌های منابع طبیعی و تحت مدیریت انسان دارد(عنبرانی، ۱۳۷۷). بنابراین ارزیابی خطرات فرسایش خاک امری مهم و ضروری برای توسعهٔ روشاهای ممانعت از فرسایش به منظور مدیریت پایدار اراضی و منابع آب است(ورلینگ و همکاران، ۲۰۰۲). به منظور تخمین فرسایش اولین معادله‌ای که پیشنهاد شد معادله زینگ بود که در آن تنها دو عامل درجه و طول شیب در نظر گرفته شده بود. بعدها ماسکریو عامل پوشش گیاهی و آب و هوا را در آن دخالت داد. سپس به تدریج فرمول هایی تهیه شد و پیش‌بینی فرسایش را بر اساس داده‌های مکانی امکان پذیر ساخت.

لازم به ذکر است که در قرن اخیر پدیده فرسایش خاک و انتقال رسوبات برای جامعه بشری مسایل و مشکلات زیادی را بوجود آورده است به طوری که تجزیه و تحلیل آن و پیدا کردن راه حل‌های سریع و به موقع مستلزم تحقیقات دامنه داری در سطح جهانی است. فرسایش، نتیجه و حاصل اثر متقابل مجموعه‌ای از عوامل طبیعی و انسانی است که بر حسب شرایط خاص منطقه، یک یا چند عامل، به عنوان عوامل اصلی و تعیین کننده عمل می‌نمایند. با توسعه و پیشرفت بشر شدت فرسایش خاک فزونی یافته، به طوری که شدت فرسایش خاک در آسیا، آفریقا و امریکای جنوبی با ۳۰ تا ۴۰ تن در هکتار در سال بیشترین و در اروپا و امریکای شمالی با ۱۳ تن در هکتار در سال کمترین مقدار را دارا می‌باشد(برايان، ۲۰۰۰ و بايرامين، ۲۰۰۳). فرسایش خاک یکی از عوامل زیست محیطی، کشاورزی و تولید غذا در جهان محسوب می‌شود و تأثیرات محرابی بر تمام اکوسیستم‌های منابع طبیعی و تحت مدیریت انسان دارد(بای بوردی، ۱۳۷۲). رشد روز افزون جمعیت ایران در ۴۰ سال اخیر و نیاز روز افزون به توسعه منابع غذایی، موجب استفاده بی رویه و بیش از توان اکولوژیکی منابع طبیعی کشور شده است. این روند به تشديد فرآیند تخریب منابع آب و خاک منجر شده است. امروزه پدیده فرسایش با کاهش حاصلخیزی خاک، باعث تخریب اکوسیستم‌های طبیعی نظیر مراع، جنگل‌ها و اکوسیستم‌های کشاورزی می‌گردد(بايرامين، ۲۰۰۳). نرخ سالانه فرسایش خاک در ایران تا ۳۳ تن در هکتار گزارش شده که ۵ تا ۶ برابر حد مجاز است و میانگین سالانه فرسایش خاک نیز به حدود ۱۵ تن در هکتار رسیده که سه برابر متوسط قاره آسیاست(نشریه تخصصی فرسایش انجمن علوم خاک ایران، ۱۳۹۰). فرسایش توسط آب، خاک سطحی و مواد غذایی را خارج می‌کند، حاصلخیزی خاک را در معرض خطر قرار می‌دهد، ظرفیت نگهداری آب قابل استفاده را کاهش می‌دهد، پایداری ساختمان خاک را کاهش می‌دهد و باعث انسداد سطحی می‌شود(روتن و تیلر، ۱۹۹۰). تأثیرات فرسایش در منطقه شامل از دست رفتن خاک از منطقه، شکستن ساختمان خاک، کاهش مواد آلی و مواد غذایی، حرکت به سمت کاهش حاصلخیزی خاک و در آخر کاهش منابع غذایی و کاهش پوشش گیاهی می‌باشد(کروسن، ۱۹۹۷، واستیگن، ۲۰۰۱). تأثیرات فرسایش در خارج از منطقه شامل مشکل رسوب گذاری در مسیر رودخانه، افزایش به خطر افتادن مواد غذایی و کاهش طول عمر منابع می‌باشد(هارگوین و همکاران، ۲۰۰۶ و کلارک، ۱۹۸۵). فرسایش پذیری خاک، قابلیت ذاتی خاک برای از دست رفتن توسط عوامل فرسایش می‌باشد. پدیده فرسایش خاک تابعی از قابلیت جدا شدن ذرات تشکیل دهنده قشر سطحی

خاک همزمان با تغییر مکان آنها توسط عوامل انتقال دهنده است (حسین و همکاران، ۲۰۰۷). عوامل تشید فرسایش خاک معمولاً به چهار پارامتر اقلیم، پستی و بلندی، پوشش گیاهی و خاک و نیز اثر متقابل آنها بستگی دارد (لافلان، ۱۹۹۸). مدل حاضر این موارد را به خوبی در بطن خود بررسی می نماید و نتایج حاصل از درجه اعتبار بالایی برخوردار است. تهیه نقشه صحیح خطر فرسایش در سامانه اطلاعات جغرافیایی برای تعیین مناطقی که خطر فرسایش بالایی دارند و برای توسعی مناسب تکنیک های پیشگیری از فرسایش، بسیار مهم می باشد (میتساوا و همکاران، ۱۹۹۶). مطالعات زیادی روی مدل سازی فرسایش خاک با به کارگیری تکنیک های RS و GIS انجام شده است (رود و فرد، ۱۹۹۷)، این مدل نیز در بطن خود به خوبی از توانمندی و توانایی سنجش از دور و سیستم های اطلاعات جغرافیایی در برآورد پارامترها و پنهانه بندی خطر فرسایش استفاده می کند (بايرامين، ۲۰۰۳).

احسانی و غفاری شیروان (۱۳۹۲)، پنهانه بندی خطر فرسایش آبی را با استفاده از داده های ماهواره ای و GIS و مدل ICONA<sup>۱</sup> در حوضه آبخیز حبله رود استان سمنان انجام دادند نقشه نهایی تحقیقات آنان نشان داد که ۴۸ درصد از سطح خاکی خطر فرسایش خیلی کم، ۳۶ درصد کلاس خطر فرسایش کم، ۱۲ درصد کلاس خطر فرسایش متوسط و ۴ درصد کلاس خطر فرسایش زیاد را شامل می شوند. بايرامين و همکاران (۲۰۰۳) در منطقه بی پازاری ترکیه با استفاده از مدل ICONA پژوهشی را انجام دادند. مطالعات آنان نشان داد که مراتع و زمین های باير به ویژه در دامنه های شبکه و پر از تپه و مناطق کوهستانی با خطرات فرسایش بالایی مواجه است و نوع کاربری، پوشش گیاهی، سنگ مادر، شرایط توپوگرافی، بارندگی و خصوصیات خاک عواملی است که بر فرسایش خاک تاثیر دارد. بنابراین فرسایش فرآیندی طبیعی بوده که در تمام نقاط زمین در حال تکوین است و در تغییر و تحول سطح زمین اهمیت فراوان دارد.

ویلسون ولرانگ (۲۰۰۰) کاربردهای GIS را جهت برآورد فرسایش خاک و محدودیت های مطالعات بررسی کرده و در نهایت ثابت نمودند که سیستم اطلاعات جغرافیایی قابلیت فوق العاده ای جهت بهبود و برآورد فرسایش خاک فراهم می نماید. اوزل و همکاران (۱۹۹۹) تحقیقی را بر حوضه آبخیز دالaman در کشور ترکیه با استفاده از مدل ICONA انجام دادند و موقعیت خطر فرسایش پذیری حوضه را تعیین کردند. میلوارد و مرsei (۱۹۹۹) مطالعه ای بر روی سد یوسوفلی ترکیه انجام دادند و کلاس فرسایش پذیری منطقه مورد مطالعه را با به کارگیری مدل ICONA و تصاویر لندست و شاخص<sup>۲</sup> NDVI، تعیین و برآورد نمودند.

رئوفی (۲۰۰۴)، نقشه فرسایش حوضه طالقان را با استفاده از تکنیک پردازش تصاویر را تهیه نمود. حاجی قلیزاده (۲۰۰۵)، از سنجده ETM به اضافه روش تفسیر عکس های ماهواره ای برای تهیه ی نقشه فرسایش برای پنج حوضه در استان تهران استفاده کرد. نتایج تحقیق نشان وی داد که تشخیص فرسایش سطحی و شیاری به دلیل وضوح تصاویر بسیار مشکل است.

<sup>۱</sup>- Institute Conservation Of Nature

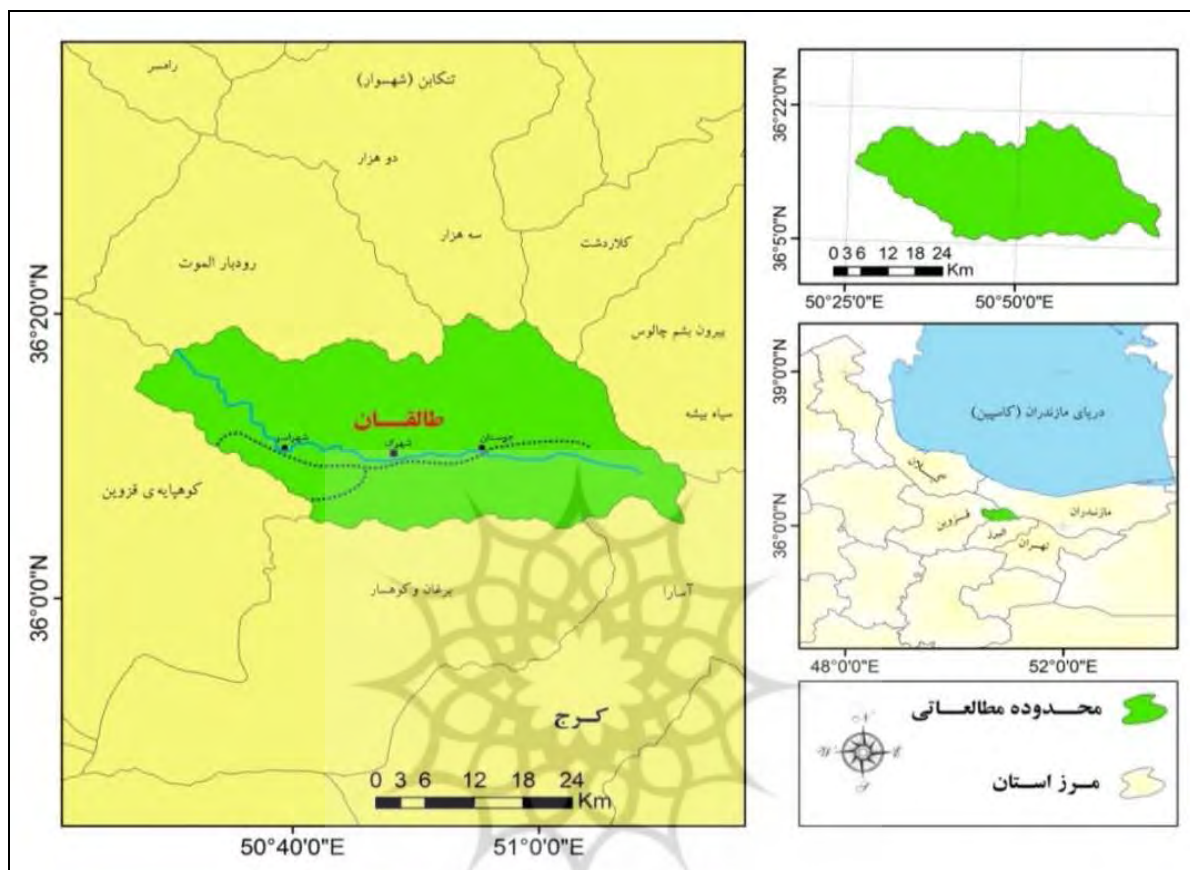
<sup>۲</sup>- Normalized Difference Vegetation Index

مدل های تجربی مختلفی برای برآورد میزان فرسایش بصورت تجربی وجود دارد که از آن جمله می توان به روشهای USLE، F.A.O، MUSGRAVE، E.P.M، SDR، فورنیه، پسیاک، B.L.M، استلیک و WEEP اشاره کرد که هر کدام از آنها دارای معایب و محسن خاص خودشان هستند که شاید مهمترین ایراد آنها منطقه ای بودن آنها است و اگر در غیر از آن منطقه بکار گرفته شود دارای دقت پایینی است. ولی مدل ICONA تا حد زیادی این عیب را بر طرف نموده است. چرا که پارامترهای مورد استفاده آن دارای عمومیت کلی می باشند و با دقت قابل قبولی می توان با کمترین وابستگی اقلیمی و جغرافیایی از آن در اکثر حوضه های کوچک اقلیم مدیترانه ای و نیمه مدیترانه ای استفاده نمود.

عمل فرسایش آب های جاری به همراهی ساختمان زمین ساخت، به ویژه نوسانات آب و هوایی کواترنر، اشکال فرسایشی و ساختمانی جالبی به حوضه طالقان رود بخشیده اند. در این میان جالب توجه ترین آنها را در دره طالقان می توان یافت. دامنه های تندر، همراه با لغزش های قدیم و جدید، مئاندرهای پرشمار در مسیر رود، مخروط افکنه های آبرفتی در محل پیوستن دره های فرعی به بستر اصلی و پادگانه های آبرفتی مطابق در دو طرف دره، از چشم اندازهای پیکرشناسی جالب توجه دره طالقان رود می باشند. با توجه به مطالب ذکر شده و وجود نرخ بالای فرسایش در منطقه که شواهد متعددی دارند اهمیت مطالعه و بررسی میزان فرسایش در منطقه را یادآور می نماید. شاید یکی از دلایل بالا بودن میزان فرسایش در منطقه وجود لغزش های زیاد در منطقه باشد که از تراکم بالایی دارند. در این پژوهش با کمک مدل ICONA به پهنگندی خطر فرسایش آبی در حوضه ای آبخیز طالقان رود پرداخته شده است.

#### موقعیت منطقه مورد مطالعه

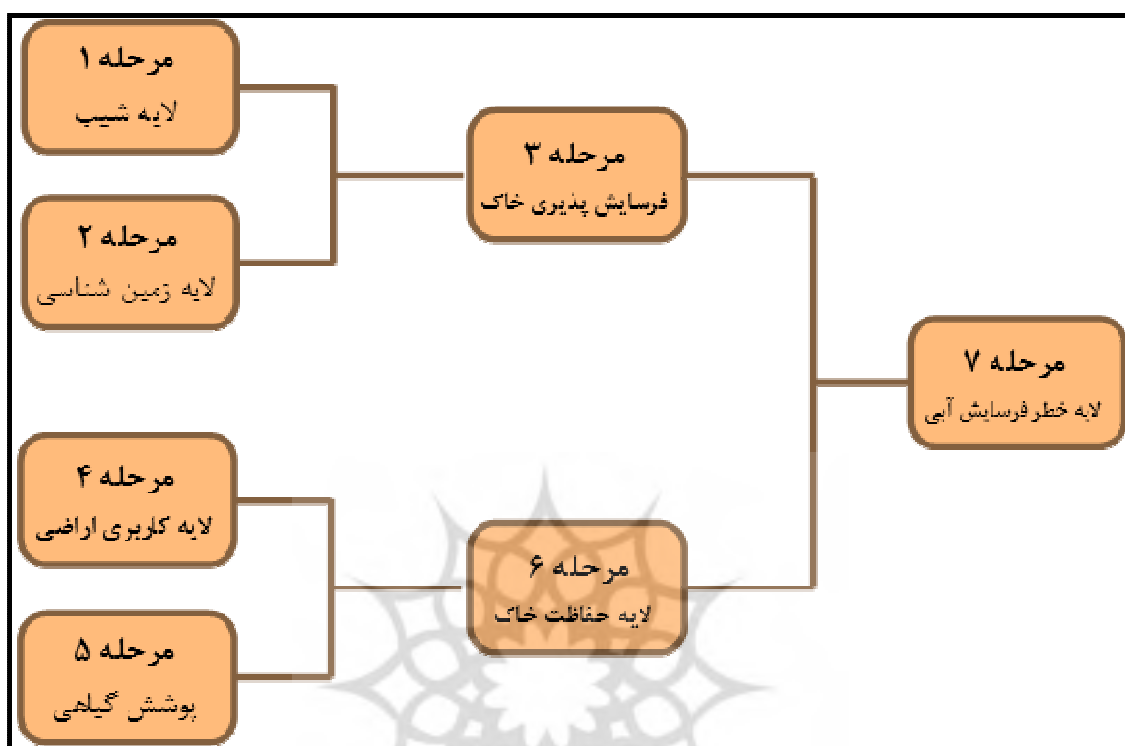
حوضه آبخیز طالقان رود بین طول شرقی  $۵۰^{\circ} ۲۵'$  تا  $۱۱^{\circ} ۵۱'$  و عرض شمالی  $۳۶^{\circ} ۲۱'$  تا  $۳۶^{\circ} ۰۵'$  در شمال استان البرز جای گرفته است. میانگین بارش سالانه این حوضه  $۶۰۹$  میلیمتر می باشد، این حوضه طبق روش اقلیم نمای دومارتن اصلاح شده، دارای اقلیم مدیترانه ای سرد می باشد و مساحت آن  $۱۲۴۲/۶۵$  کیلومتر مربع می باشد. شکل ۱ موقعیت جغرافیایی منطقه را نشان می دهد.



شکل ۱: نقشه موقعیت حوضه آبخیز طالقان رود

## روش تحقیق

مدل ICONA توسط انجمن علمی حفاظت از طبیعت اسپانیا ارائه شده است. این مدل در کشورهای اروپایی و بسیاری از مناطق مدیترانه‌ای قابل استفاده بوده و در میان بسیاری از راه‌های موثر بر پیش‌بینی فرسایش با استفاده از RS و GIS، شبیه‌سازی این مدل در کشورهای اروپایی، مناطق مدیترانه‌ای و سایر مناطق با شرایط اقلیمی مشابه پذیرفته شده شده است (ICONA, ۱۹۹۱). مدل ICONA شامل ۷ مرحله می‌باشد. شکل ۲ مراحل تهیه نقشه‌های خطر فرسایش آبی را نشان می‌دهد. بر اساس این مدل در ابتدا نقشه شیب و نقشه زمین‌شناسی تهیه می‌گردد و در ادامه از همپوشانی لایه شیب و زمین‌شناسی، لایه فرسایش پذیری خاک تهیه می‌شود. در مراحل بعدی، نقشه کاربری و نقشه پوشش گیاهی تهیه می‌شود و با همپوشانی لایه کاربری اراضی و پوشش گیاهی نقشه حفاظت خاک بدست می‌آید. در گام آخر، لایه فرسایش پذیری خاک و لایه حفاظت خاک همپوشانی شده و نقشه خطر فرسایش پذیری را می‌سازند.



شکل ۲: چارت مراحل مختلف مدل ICONA

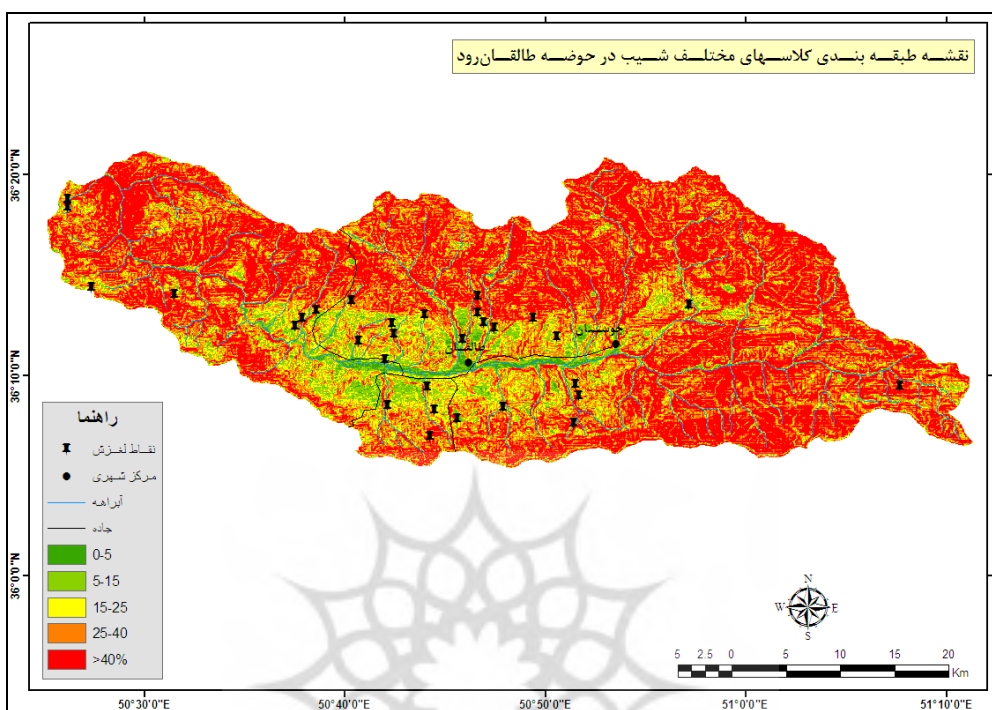
## نتایج و یافته های تحقیق

### مرحله ۱ - تهییه لایه شبیب منطقه

در این مرحله ابتدا لایه شبیب تهییه می شود. برای بدست آوردن کلاس شبیب منطقه از اطلاعات نقشه های ۱:۲۵۰۰۰ سازمان نقشه برداری استفاده شده است. لایه شبیب از اطلاعات نقشه DEM بدست می آید. نقشه DEM با الگوریتم TPSS و با اندازه پیکسل ۱۰ متری تهییه شده و در پنج گروه طبقه بندی گردید که شکل ۳ نقشه شبیب حوضه را نمایش می دهد. کلاس بندی شبیب منطقه نیز در جدول ۱ آمده است.

جدول ۱: طبقات شبیب منطقه

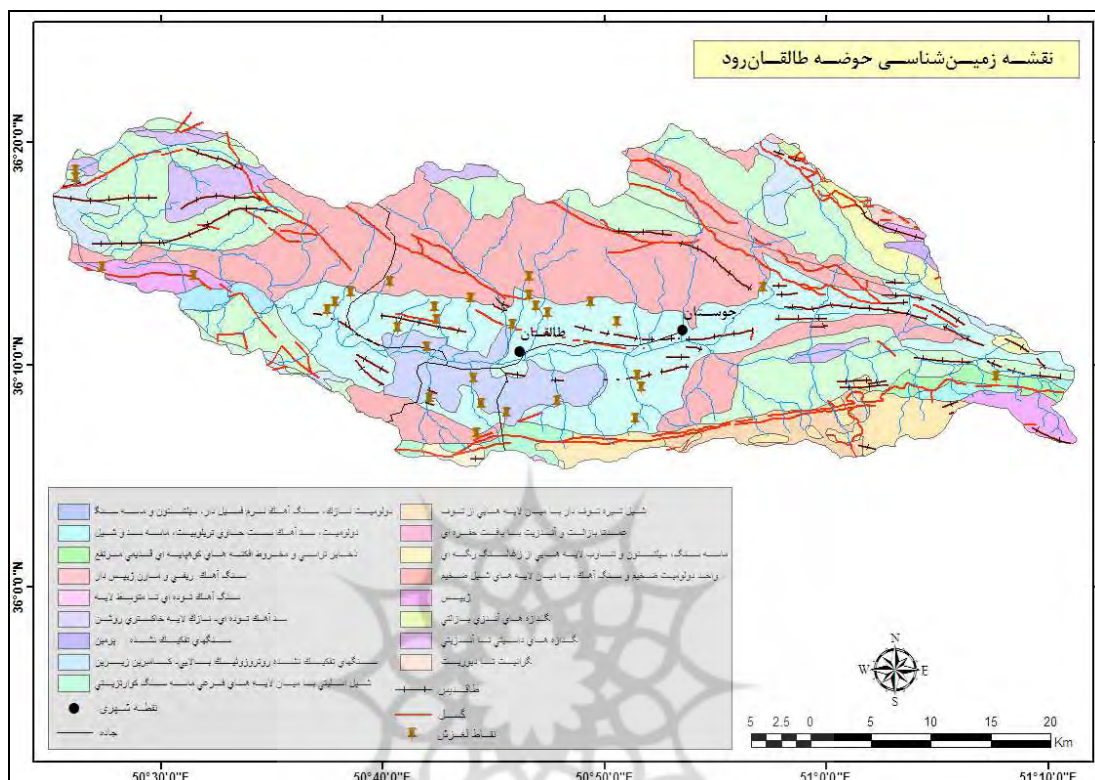
کلاس	دامنه درصد شبیب	عنوان
۱	۰ - ۵	شبیب خیلی کم
۲	۵-۱۵	شبیب کم
۳	۱۵-۲۵	شبیب متوسط
۴	۲۵-۴۰	شبیب تند
۵	>۴۰	شبیب خیلی تند



شکل ۳: نقشه طبقات شیب حوضه آبخیز طالقان رود

#### مرحله ۲ - تهیه لایه سطوح سنگی (زمین شناسی)

در این مرحله برای طبقه بندي لایه سطوح سنگی از نقشه زمین شناسی رقومی شده با مقیاس ۱:۱۰۰۰۰۰ استفاده شد و سازنده زمین شناسی بر طبق مقاومت به هوازدگی در ۵ گروه طبقه بندي شد که جزئیات آن در جدول ۲ نشان داده شده است. نقشه سطوح سنگی نشان دهنده نوع سنگ، مواد مادری یا رسوب سطحی یا خاک با تأکید بر مقاومت نسبت به فرسایش شیمیایی و مکانیکی می باشد. شکل ۴ پراکندگی سطوح سنگی را در حوزه آبخیز طالقان رود نشان می دهد.



شکل ۴: نقشه لایه سطوح سنگی حوضه‌ی آبخیز طالقان‌رود

جدول ۲: لایه‌های سطوح سنگی

نوع مواد تشکیل دهنده	کلاس	نوع
ماسه سنگ و کوارتز روشن - سنگ آهک - ماسه سنگهای قرمز - گدازه های بازی شکل	۱	
توفهای اسیدی - سنگ آهک ترشیاری - گدازه های آندزیتی - ماسه سنگ های سیاه	۲	
کنگلومرا - ماسه سنگ های درشت - توف های بازی با منشا داخلی - آگلومرا	۳	
توف های تیره - تراس های قدیمی - سیلت تیره - کنگلومرا ریزدانه	۴	
گدازه های کواترنری - نهشته های آبرفتی - ژیپس - سیلت - دشت های سیلایی - مارن - تراس های آبرفتی - تالوس	۵	

### مرحله ۳ - نقشه فرسایش پذیری خاک

برای مشخص کردن نقشه فرسایش پذیری خاک، لایه شیب و سطوح سنگی همپوشانی می شوند و نقشه پتانسیل خطر فرسایش و سطح فرسایش پذیری از ترکیب این دو بدست می آید. زمینه و سطح فرسایش پذیری در جداول زیر آورده شده است. برای مثال، کلاس فرسایش پذیری سنگ بستر و سازندهای کوارتزی دارای کلاس (1a) و شیب کمتر از ۵ درصد، مینیمم یا (EN) می باشد یا مارن و سازندهای رسوبی با شیب بیشتر از ۳۵ درصد، دارای کلاس

فرسایش پذیری ماسیموم یا (EX) می باشد. زمینه فرسایش پذیری در جدول ۳ و شاخص فرسایش پذیری در جدول ۴ آورده شده است.

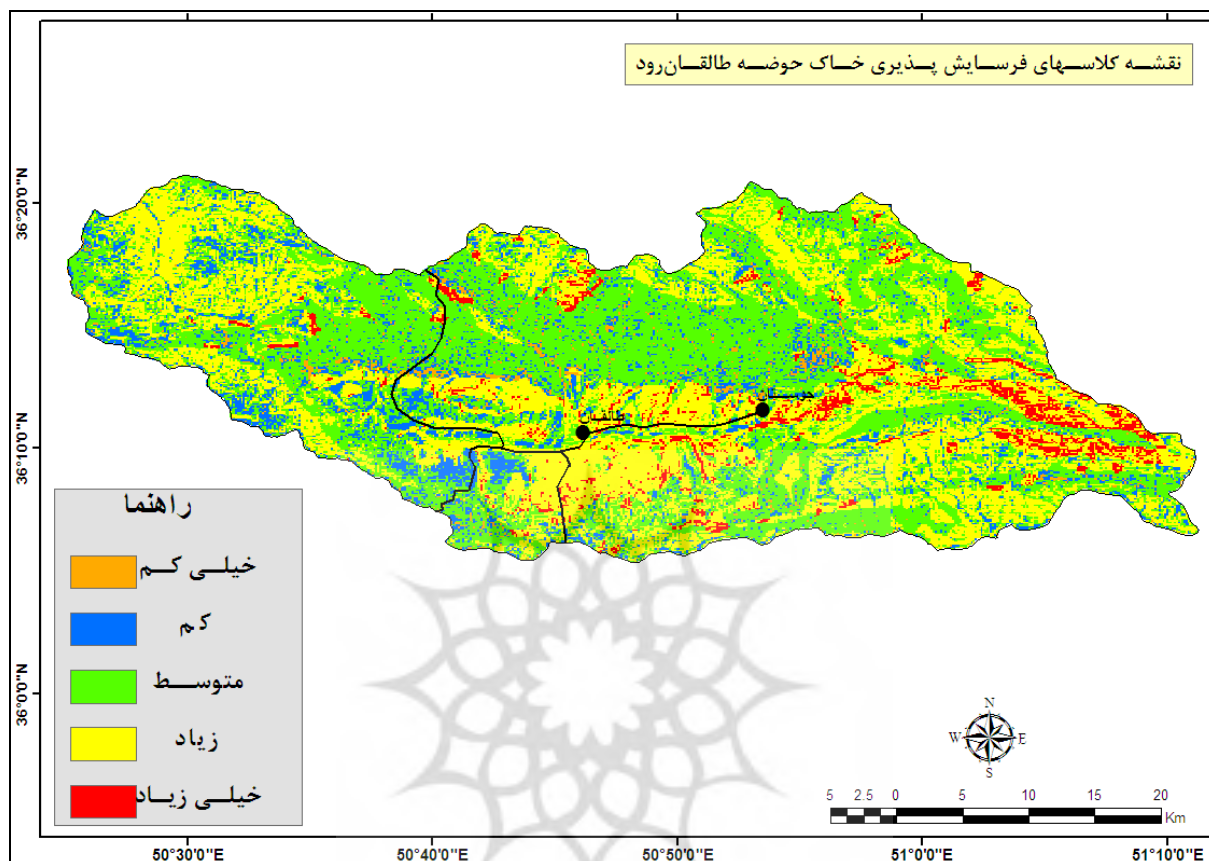
جدول ۳: زمینه و سطح فرسایش پذیری

فرسایش پذیری	کلاس لایه های سطوح سنگی				
	طبقه شیب	۱	۲	۳	۴
۱	۱(EN)	۱(EN)	۱(EN)	۱(EN)	۲(EB)
۲	۱(EN)	۱(EN)	۲(EB)	۳(EM)	۳(EM)
۳	۲(EB)	۲(EB)	۳(EM)	۴(EA)	۴(EA)
۴	۳(EM)	۳(EM)	۴(EA)	۵(EX)	۵(EX)
۵	۴(EA)	۴(EA)	۵(EX)	۵(EX)	۵(EX)

جدول ۴: شاخص فرسایش پذیری

کلاس	نشانه	توضیح	مساحت %
۱	EN	خیلی کم	۱/۳
۲	EB	کم	۵/۷
۳	EM	متوسط	۵۸/۴
۴	EA	زیاد	۳۰/۷
۵	EX	خیلی زیاد	۳/۹

با توجه به مطالب بالا نقشه فرسایش پذیری خاک در شکل ۵ نشان داده شده است.



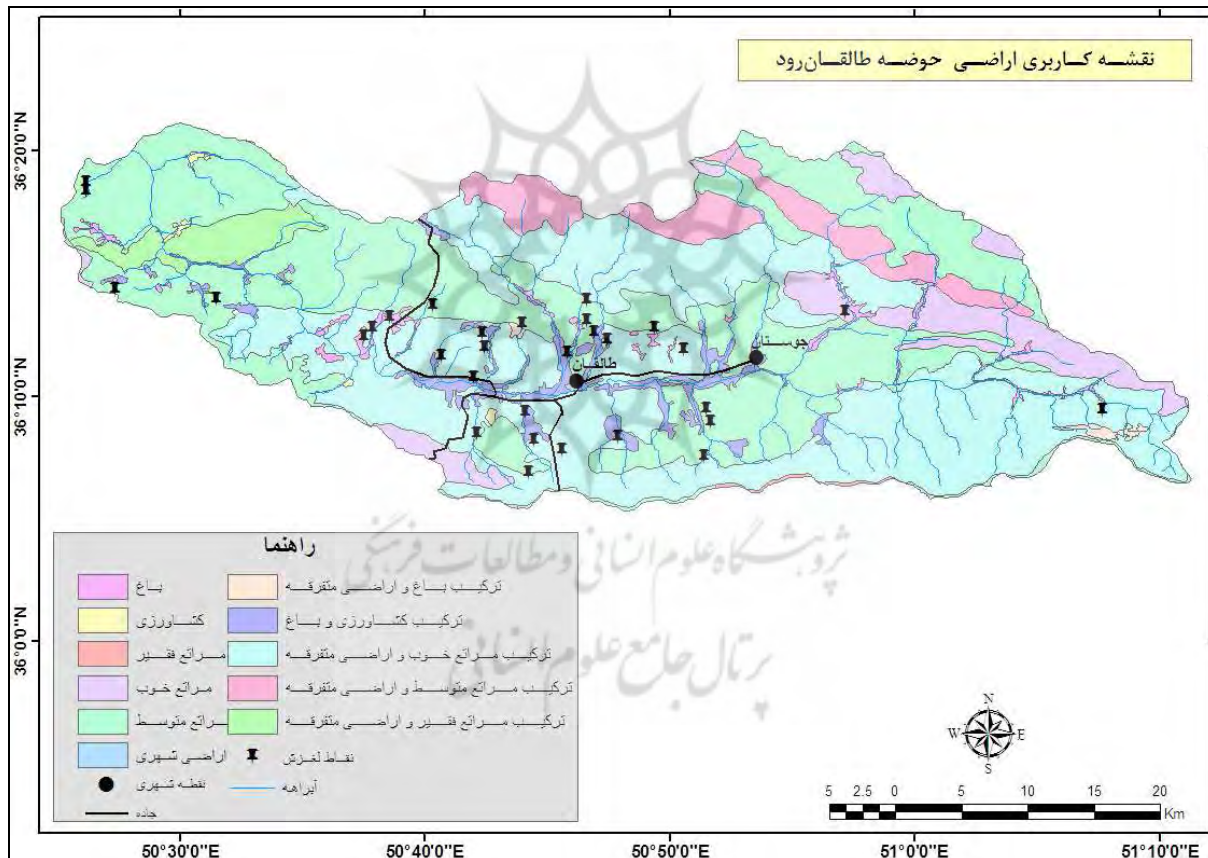
شکل ۵: نقشه فرسایش پذیری خاک حوضه آبخیز طالقان رود

#### مرحله ۴- تعیین کاربری منطقه

برای تهییه نقشه کاربری اراضی حوضه از تصاویر ماهواره‌ای و تکنیک‌های سنجش از دور استفاده شده است. تصاویر مورد استفاده در این پژوهش تصاویر ماهواره لندست ۸، تاریخ ۳۰ May سال ۱۳۹۶ می باشد. در این تحقیق جهت عملیات تصحیح هندسی تصاویر اقدام به استخراج شبکه آبراهه‌ها و راه‌ها از نقشه‌های ۱:۲۵۰۰۰ سازمان نقشه برداری و تطبیق آنها با تصاویر دریافتی فوق شد. سپس نقاط کنترل به صورت تصادفی از سر تا سر حوضه برداشت گردید. به دلیل ژئورفرنس بودن تصویر خطای هندسی بسیار کمی در پیکسل‌ها مشاهده شد. خطای RMSE در این باند معادل ۰/۱۹ بودست آمد. در این مرحله از روش تبدیل چند جمله‌ای و روش نزدیک ترین همسایه برای نمونه برداری مجدد استفاده گردید. یازده کاربری مختلف به وسیله این نمونه گیری‌ها در منطقه‌ی مورد مطالعه از هم تفکیک شدند که این کاربری‌ها در ۵ کلاس طبقه‌بندی شدند. جدول ۵ و شکل ۶ کاربری‌های موجود در منطقه را نشان می‌دهند.

جدول ۵: طبقات کاربری اراضی

کلاس	نوع کاربری
۱	کشت دیم
۲	کشت آبی
۳	جنگل (باغ)
۴	مرتع
۵	صخره



##### مرحله ۵- تعیین پوشش گیاهی

گیاهان سبز در تصاویر ماهواره ای معمولاً در محدوده مرئی (۴۰۰ الی ۷۰۰ نانومتر) و بخصوص محدوده قرمز تیره هستند که این پدیده ناشی از جذب نور توسط رنگدانه های موجود در گیاهان سبز (کلروفیل، پرتوکلروفیل، زانتوفیل و...) می باشد. در این محدوده یک فرایش ناگهانی ولی کوچک انعکاس در طول موج حدود ۵۵۰ نانومتر دارد(نور

سبز) به همین دلیل آنها به رنگ سبز دیده می‌شوند. اما در محدوده بین ۷۰۰ الی ۱۳۰۰ نانومتر (مادون قرمز نزدیک) گیاهان روشن می‌باشند، زیرا در این محدوده دارای انعکاس بسیار بالایی هستند و بر اساس این خصوصیت انعکاس طیف گیاهان سبز برای استخراج نقشه پوشش گیاهی از فرآیند تقسیم یا نسبت باندی مادون قرمز نزدیک به باند قرمز نظیر برای هر پیکسل تصاویر ماهواره‌ای استفاده می‌گردد. برای بدست آوردن نقشه پوشش گیاهی، از شاخص NDVI و تصاویر لندست TM استفاده شد. فرمول شاخص NDVI به صورت رابطه ۱ می‌باشد.

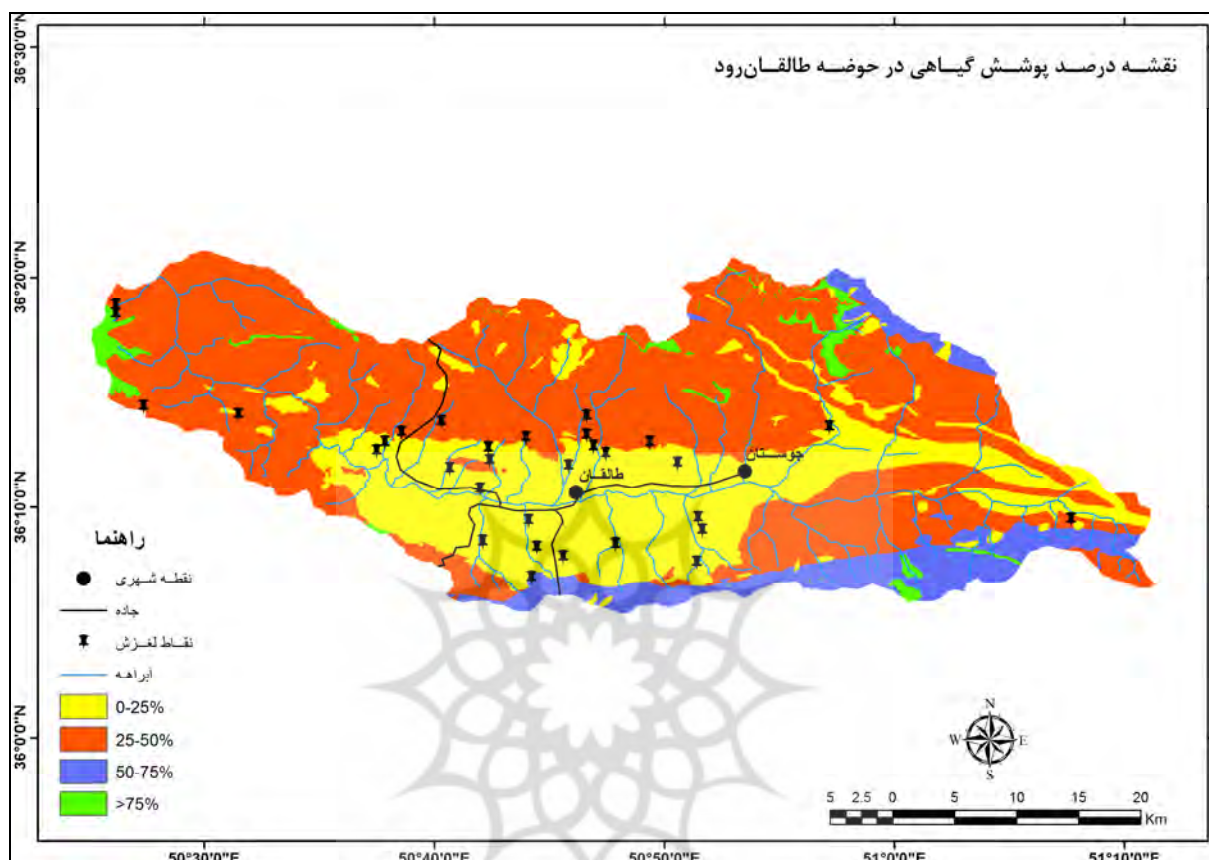
$$\text{NDVI} = \frac{\text{NIR Band} - \text{R Band}}{\text{NIR Band} + \text{R band}} \quad (1)$$

لایه NDVI در ۴ گروه طبقه بندی می‌شود و لایه پوشش گیاهی را تولید می‌کند. این شاخص نشان دهنده میزان انرژی انعکاس از زمین مربوط به تفاوت در شرایط نوع پوشش گیاهی می‌باشد. محدوده شاخص NDVI، بین ۱ + تا ۱ - می‌باشد. اگر انعکاس طیفی اندازه گیری شده از سطح زمین خیلی شبیه به هر دو باند باشد، مربوط به زمانی است که شاخص نزدیک به صفر است. نتیجه تفاوت بین هر دو باند این است که مقدار NDVI دارای محدوده اطلاعاتی زیادی می‌باشد. فعالیت فتوسنتر گیاهی یک بازتاب بسیار زیاد را در بخش IR طیف، در مقایسه با بخش مرئی نشان می‌دهد. بنابراین، مقدار NDVI برای فعالیت فتوسنتر گیاهی مثبت خواهد بود. مناطق پوشش گیاهی و یا با پوشش گیاهی کم (مثل خاک‌های لخت، حومه شهرها)، همانند فعالیت غیر فتوسنتری گیاهی (گیاهان چهارتنش یا مسن)، مقدار صفر یا منفی را نشان می‌دهند.

کلاس بندی درصد پوشش گیاهی منطقه مورد مطالعه و نقش پوشش گیاهی به ترتیب در جدول ۶ و شکل ۷ آورده شده است.

جدول ۶: طبقات درصد پوشش گیاهی

طبقه	درصد پوشش گیاهی
۱	درصد پوشش گیاهی کمتر از ۲۵ درصد
۲	درصد پوشش گیاهی بین ۲۵ تا ۵۰ درصد
۳	درصد پوشش گیاهی بین ۵۰ تا ۷۵ درصد
۴	درصد پوشش گیاهی بالاتر از ۷۵ درصد



شکل ۷: نقشه پوشش گیاهی حوضه آبخیز طالقان رود

#### مرحله ۶ - تعیین وضعیت حفاظت خاک

در این مرحله، برای به دست آوردن نقشه حفاظت خاک، لایه کاربری و لایه پوشش گیاهی همپوشانی می‌شوند. کلاس وضعیت حفاظت خاک با توجه به نوع کاربری و میزان پوشش گیاهی در جدول ۷ نشان داده شده است.

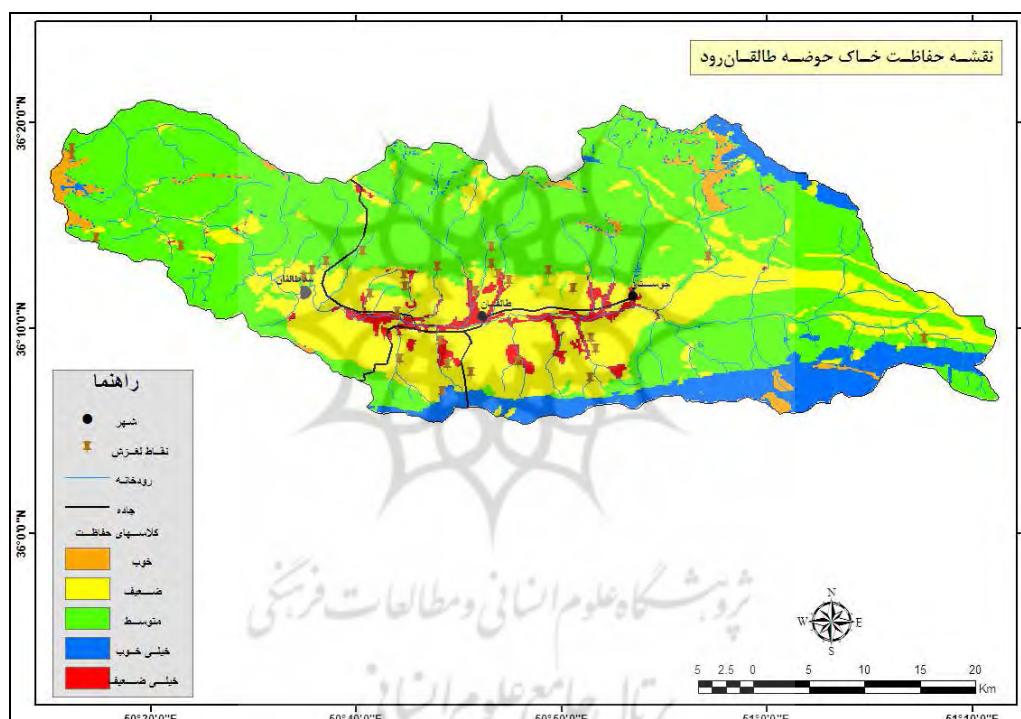
جدول ۷: وضعیت حفاظت خاک

حفاظت خاک	طبقه پوشش گیاهی			
	۱	۲	۳	۴
کلاس کاربری اراضی				
۱	۵ (خیلی ضعیف)	۵ (خیلی ضعیف)	۴ (ضعیف)	۴ (ضعیف)
۲	۵ (خیلی ضعیف)	۵ (خیلی ضعیف)	۴ (ضعیف)	۳ (متوسط)
۳	۳ (متوسط)	۲ (خوب)	۱ (خیلی خوب)	۱ (خیلی خوب)
۴	۴ (ضعیف)	۳ (متوسط)	۲ (خوب)	۱ (خیلی خوب)
۵	۵ (خیلی ضعیف)	۴ (ضعیف)	۳ (متوسط)	۲ (خوب)

نقشه حفاظت از خاک، با توجه به کلاس های ارایه شده، به صورت شکل ۸ می باشد.

#### مرحله ۷- نقشه خطر فرسایش خاک ICONA

سر انجام در مرحله آخر، نقشه حفاظت خاک و نقشه فرسایش پذیری خاک برای بودجه آوردن نقشه خطر فرسایش خاک ICONA ترکیب می شوند. میزان خطر فرسایش خاک حوضه آبخیز طالقان رود، در جداول ۸ و ۹ آورده شده است و شکل ۹ نیز نقشه پراکندگی خطر فرسایش خاک حوضه طالقان رود را نشان می دهد.



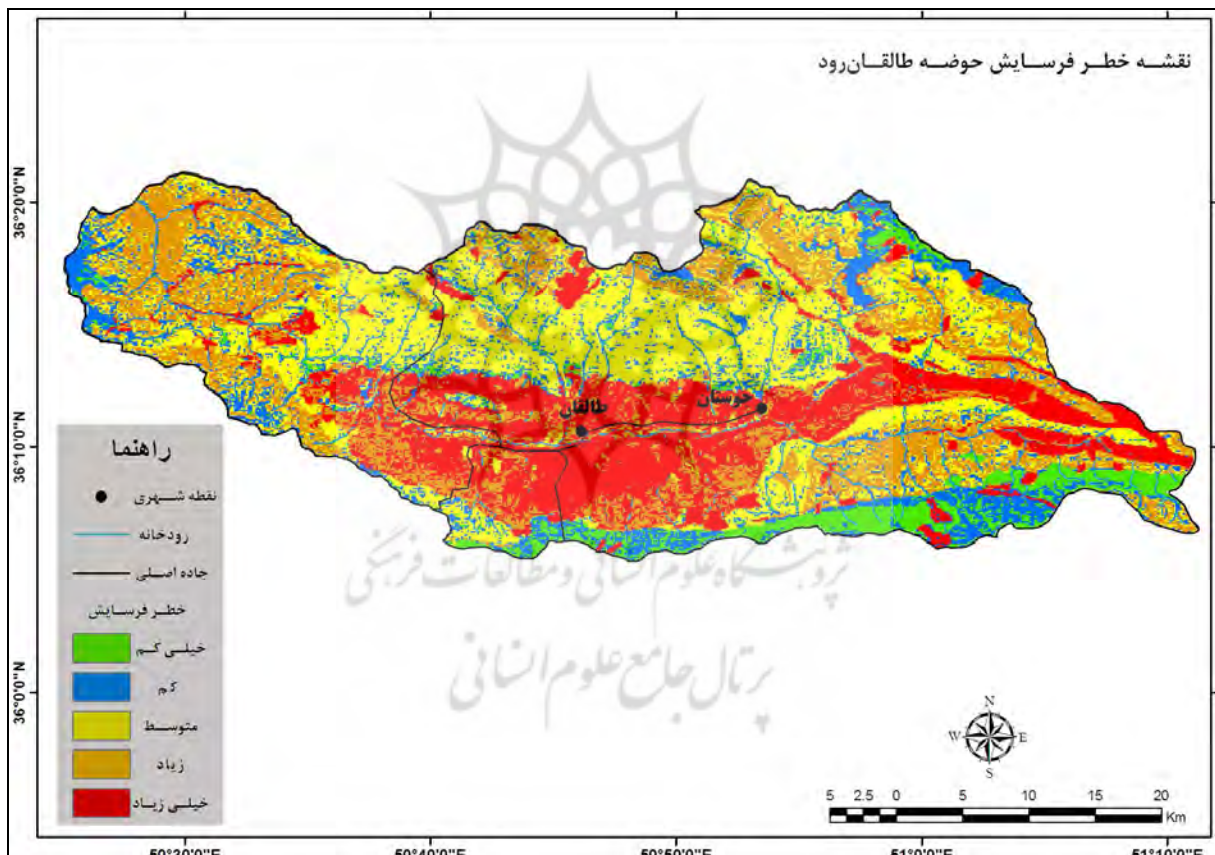
شکل ۸: نقشه حفاظت خاک حوضه آبخیز طالقان رود

جدول ۸: طبقات خطر فرسایش خاک

خطر فرسایش		شاخص فرسایش پذیری					
		(EN) خیلی کم	(EB) کم	(EM) متوسط	(EA) زیاد	(EX) خیلی زیاد	
وضعیت حفاظت خاک	(خیلی خوب) ۱	۱	۱	۱	۲	۲	
	(خوب) ۲	۱	۱	۲	۳	۴	
	(متوسط) ۳	۱	۲	۳	۴	۴	
	(ضعیف) ۴	۲	۳	۳	۵	۵	
	(خیلی ضعیف) ۵	۲	۳	۴	۵	۵	

جدول ۹: کلاس های خطر فرسایش

کلاس	میزان	درصد مساحت
۱	خیلی کم	۴/۱
۲	کم	۷/۳
۳	متوسط	۲۸/۱
۴	زیاد	۲۰/۷
۵	خیلی زیاد	۳۹/۸



### نتیجه گیری

این مدل به دلیل استفاده از تکنیک های خاص به ویژه در مناطقی که مساحت زیادی دارند و مناطقی که اطلاعات کافی در مورد آنها وجود ندارد و همچنین دسترسی به این مناطق به دلایلی از جمله صعب العبور بودن ممکن نمی باشد، بسیار موثر است. اجرای این مدل فرسایشی، می تواند به شناسایی مکان هایی که تحت تاثیر فرسایش

هستند کمک کند و با شناسایی این مکان‌ها مدیریت لازم جهت کنترل و کاهش فرسایش خاک اعمال شود. مدل مذکور قادر به ارایه پتانسیل فرسایش پذیری خاک و همچنین خطر فرسایش آبی می‌باشد.

در منطقه مورد مطالعه به طور معناداری بسیاری از خواص فیزیکی سطح خاک از جمله درجه خاکدانه سازی، درصد سنگریزه درشت، ضخامت موثر پروفایل خاک، ظرفیت نگهداری آب و عمق سطح ایستایی آب را تحت تاثیر قرار می‌دهد که مدل مذکور شبیه را با دقت بالا و الگوریتم جدیدی در امر فرسایش وارد می‌کند. توجه به این نکته الزامی است که طول و جهت شبیه در جذب نور تأثیر فراوانی دارد و تبخیر مسلماً در دامنه جنوبی بالاتر است و لذا پوشش گیاهی و مواد آلی کمتر و میزان فرسایش خاک بیشتر است. این مهم مخصوصاً در مناطق خشک و نیمه خشک جلوه می‌کند. این پارامتر در مدل گنجانده نشده، لذا این مدل برای مناطق مدیترانه‌ای و نیمه مدیترانه‌ای کاربرد دارد. نقش کاربری اراضی و پوشش گیاهی در فرسایش کامل‌روشن است و این مدل این پارامترها را با دقت بالا در بطن خود استفاده می‌کند.

توجه به این نکته الزامی است که این مدل مختص مناطق مدیترانه‌ای و نیمه مدیترانه‌ای می‌باشد و کاربرد آن برای مناطق دیگر، از جمله مناطق نیمه خشک محدود است. از جمله این محدودیت‌ها لحاظ نکردن جهت شبیه می‌باشد که یکی از عوامل تأثیر گذار بر میزان فرسایش مخصوصاً در مناطق گرم و خشک می‌باشد؛ لذا توصیه می‌گردد، این مدل برای مناطق تعریف شده و با کاربرد روش‌های دورسنجی و سامانه اطلاعات جغرافیایی صورت پذیرد. در پایان می‌توان خاطر نشان نمود که کاربرد تصاویر ماهواره‌ای در مدل ICONA ضمن توانایی کاهش محسوس هزینه تهیه اطلاعات جغرافیایی ترتیب منظم بازنگری و بروز در آوردن اطلاعات را نیز بهبود می‌بخشد.

داشتن آمار و اطلاعات بهنگام لازمه مدیریت صحیح عرصه‌های طبیعی می‌باشد. با عطف به هزینه بالا و بهنگام نبودن تهیه این نقشه‌ها به وسیله عملیات زمینی در سالهای اخیر از تصاویر ماهواره‌ای به عنوان روشی برای این کار مطرح شده است. مطالعه فوق به منظور کاربرد مدل ICONA برای پهنه‌بندي فرسایش پذیری خاک و خطر فرسایش آبی صورت پذیرفت. نتایج نشان داد، وسعت مناطق دارای خطر فرسایش بسیار زیاد بیشترین سطح از حوضه را به خود اختصاص داده که این مناطق دارای پوشش قابل توجهی نمی‌باشند. صرفه جویی در وقت و هزینه‌ها از مزایای کاربرد این مدل می‌باشد. همچنین کم کردن قضاوت کارشناسی و استفاده از روش‌ها و الگوریتم‌های نوین در تهیه لایه‌های اطلاعاتی موثر بر فرسایش که بر دقت و صحت مطالعه می‌انجامد از دیگر مزایای این مدل است.

نقشه نهایی خطر فرسایش در این پژوهش نشان می‌دهد که از کل مساحت حوضه آبخیز،  $9/9\%$  دارای کلاس خطر فرسایش خیلی کم،  $12/7\%$  کلاس خطر فرسایش کم،  $22/4\%$  کلاس خطر فرسایش متوسط،  $18/9\%$  کلاس خطر فرسایش زیاد و  $36/7\%$  کلاس خطر فرسایش بسیار زیاد را به خود اختصاص داده‌اند.

نقشه پتانسیل فرسایش پذیری (مرحله ۳) که از همپوشانی لایه شبیه (مرحله ۱) و لایه زمین‌شناسی (مرحله ۲) به دست آمد، نشان می‌دهد که  $1/3\%$  از منطقه دارای پتانسیل فرسایش پذیری خیلی کم،  $5/7\%$  پتانسیل فرسایش

پذیری کم، ۰.۵۸٪ پتانسیل فرسایش پذیری متوسط، ۰.۳۰٪ از منطقه پتانسیل فرسایش پذیری زیاد و ۰.۳٪ از حوضه مطالعاتی دارای کلاس فرسایش پذیری بسیار زیاد می باشد.

لایه کاربری (مرحله ۴) و لایه پوشش گیاهی (مرحله ۵) به دست آمده از تصاویر ماهواره ای طبقه بندی شده و ترکیب می شوند تا نقشه حفاظت خاک (مرحله ۶) را تولید کنند. نتیجه این فرآیند نشان می دهد که ۰.۴٪ از منطقه مطالعاتی دارای کلاس خیلی کم، ۰.۲۸٪ کلاس متوسط، ۰.۲۰٪ کلاس زیاد و ۰.۳۹٪ کلاس بسیار زیاد حفاظت خاک را شامل می شوند. در مرحله آخر فاز پیشگویی (مرحله ۷) لایه فرسایش پذیری خاک و لایه حفاظت خاک ترکیب شده و نقشه پتانسیل خطر فرسایش خاک ICONA را تشکیل می دهند.

حوضه آبخیز طالقان رود با توجه به خصوصیات مورفوژوژی و توپوگرافی، حوضه ای است با تراکم شدید و کشیده با درصد شیب زیاد ( $>30\%$ ) حساس به فرسایش آبی و سیل خیز، بارندگی های شدید در حوضه که بیشتر در فصل بهار اتفاق می افتد منجر به پدیده سیل و فرسایش خاک در سطح وسیع از اراضی حوضه می گردد. شیب زیاد حوضه و تبدیلات غیر مجاز پوشش گیاهی به دلیل استفاده نادرست و بیش از حد از اراضی از عوامل اصلی بروز پدیده فرسایش و سیل است گرچه وقوع بارندگی های کوتاه مدت نیز یکی از فاكتورهای اصلی می باشد. از آنجایی که گروه هیدرولوژیکی خاک حوضه گروه D و C می باشد و شیب حوضه نیز با توجه به نقشه های بدست آمده نسبتاً شدید می باشد، فرسایش در نقاط زیادی از حوضه پیش بینی و مشاهده می شود. که این نتایج با نتایج تحقیقات (اکان، ۱۳۸۱) که بیان نمود: سطوحی که باعث سیل خیزی در حوضه های آبخیز می شود عموماً اراضی با شیب بالا خاک های سنگین و با گروه هیدرولوژیکی C و اراضی با پوشش گیاهی کمتر می باشد که قابلیت نگهداری رطوبت و نفوذ پذیری آن به مراتب پایین تر از اراضی طبیعی با میزان تاج پوشش بالا و دست نخورده می باشد، مطابقت دارد.

به نظر می رسد یکی از دلایل وجود خطر فرسایش زیاد در منطقه پراکندگی و تراکم بالای لغزش های منطقه است که می تواند خطر فرسایش پذیری منطقه را بالا ببرد. لغزش های رخ داده در منطقه مورد مطالعه یکی از کانونهای اصلی فرسایندگی حوضه مورد مطالعه می باشند.

## منابع

احسانی، امیر هوشنگ و غفاری شیروان مژده (۱۳۹۱)، مدل ICONA جهت پنهان بندی خطر فرسایش آبی با استفاده از داده های ماهواره و GIS (مطالعه موردی: حوضه آبخیز حبله رود)، اولین همایش ملی بیان (علوم، فنون و توسعه پایدار)، مرکز تحقیقات بین المللی بیان دانشگاه تهران، صفحه ۱ و ۱۱.

احمدی، حسن (۱۳۷۴). رئومورفوژوژی کاربردی، فرسایش آبی. انتشارات دانشگاه تهران. جلد اول. چاپ اول اکان، عثمان (۱۳۸۱). هیدرولوژی رگبار در حوضه های شهری. ترجمه سعید برومند نسب، انتشارات دانشگاه شهید چمران اهواز. چاپ اول. ۳۱۳ صفحه، صفحه ۲۷۸.

بای بورדי، محمد (۱۳۷۲)، فیزیک خاک، انتشارات دانشگاه تهران، شماره ۱۶۷۲. چاپ ششم.

جمشید نژاد عنبرانی، جعفر، (۱۳۷۷)، تخمين رواناب در حوضه های آبخیز دریای خزر، پایان نامه کارشناسی ارشد، دکتر سعید سعید اسلامیان، دکتر سید فرهاد موسوی، اصفهان، دانشکده کشاورزی، دانشکده صنعتی اصفهان، ۱۰۹ صفحه.

کاووسی کلاشمی، حمیده، خیرخواه زرکش، میرمسعود و المدرسی، سید علی؛ (۱۳۹۲)، مدل ICONA جهت پنهانه بندی خطر فرسایش آبی با استفاده از تصاویر ماهواره ای و GIS؛ اولین همایش ملی جغرافیا؛ تهران کریمی، لیلا و امین، سیف الله (۱۳۹۱)؛ پنهانه بندی خطر فرسایش حوضه سد سیوند در مدل ICONA بوسیله تکنیک RS شانزدهمین همایش انجمن زمین شناسی ایران ۱۳۹۱، صفحه ۸.

نوحه گر، احمد و کاظمی محمد؛ (۱۳۹۲)، ارزیابی خطر فرسایش آبی با استفاده از مدل ICONA- مطالعه موردي: حوضه آبخیز تنگ بستانک شیراز؛ فصلنامه تحقیقات جغرافیایی، شماره زمستان، سال ۲۸

- Bayramin, I. O, Dengiz, O. Baskan and M. Parlak. (2003). Soil erosion assessment with ICONA model: a Case study, Beypazariarea, Turk. J. Agric. For., 27: 105-116.
- Bryan, R. B. (2000). Soil edibility and processes of water erosion on hill slope Geomorph., 32: 385-415.
- Crosson, P. (1997), Will erosion threaten agricultural productivity. Environment 39 (8), 431.
- Hajigholizadeh M. (2005). Capability using high-resolution satellite images in distinguishes some erosion features in Tehran province, Iran. Proc. 3rd Erosion and Sediment National Conference, September (2005), Soil Conservation and Watershed Management Research Institute, Tehran, Iran (in Iranian).
- Hussein, HH. HT, Kariem and A. K, Othman. (2007). Soil erodibility in northern Iraq using natural runoff plot data, journal Soil and Tillage Research. 94-220-228
- ICONA, (1991). Plan National de Restauracion hidrologico-forest alpara el Control de la Erosion. Ministries de Agriculture, Pescay Alimentacion, Madrid
- Laflan, J. M. and E. J. Rose. (1998). Methodologies for assessment of soil degradation due to water erosion, In L al, R, W. E. H., Blum, C. V Valentine and B A. Stewart (eds), Methods for assessment of soil degradation, CRC Press Boca Raton pp: 31-56.
- Millward, A. A. and J. E. Mersey (1999). Adapting the RUSLE to model soil erosion potential in a mountain oustropical watershed. Catena, 38: 109-129.
- Mitasova, H. Hofierka, J. Zlocha, M. Iverson, R. L. (1996)."Modeling topographic potential for erosion and deposition using GIS. "International Journal of Geographical Information Science, 10, 5,629-641.
- Raoofi, M. Refahi H. GH. Jalali, N. and Sarmadian F. (2004). A study of the efficiency of digital processing methods of satellite images to map and locate soil erosion. Iranian Journal of Agriculture Sciences.Vol.35, No. 4, pp. 797-807 (in Iranian).
- Rode, M. and H. G. Frede. (1997). Modification of AGNPS for agricultural and climate condition since natural Germany. Journal of Environmental Quality, 26: 165-172.
- Rhoton, F. E. Tyler, D. D. (1990). Erosion induced changes in soil properties of a fragipan soil. Soil Sci. Soc. Am. J. 54, 223-228.
- Steegen, A. Govers, G. Takken, I. Nachtergaele, J. Poesen, J. Merckx, R. (2001). Factors controlling sediment and phosphorus export from two Belgian agricultural catchments, Journal of Environmental Quality. 30 (4), 1249-1258.

# Taleghanrood Watershed Soil Erosion Risk Assessment Model ICONA

**Mojgan Entezari<sup>1</sup>, Fatemeh Khodadadi<sup>2</sup>**

1- Associate Professor of Geomorphology, University of Isfahan, Isfahan, Iran

Email: m.entezari@geo.ui.ac.ir

2- PhD Student of Geomorphology, University of Isfahan, Isfahan, Iran

Received: 2016-08-31

Accepted: 2017-04-23

## Abstract

Soil erosion is one of the most important environmental issues, agriculture and food production in the world's natural and managed ecosystems and effects to all humans, therefore, quick and timely solutions required appearing. Among these solutions is the ICONA model that is provided by the Society for Conservation of Nature Spain. Among the many methods to predict erosion using GIS and RS, the model simulation results for all accepted. This research landscape water erosion and watershed Taleghanrood examined in the form of soil erosion and Zoning shows. This model has seven steps that slope maps, geological maps and then overlay the layer of the slope and geology, soil erosion layer is prepared. In later stages, use map using remote sensing techniques and vegetation map was produced using NDVI index. Then, with overlapping layers of soil conservation, land use and vegetation map have been achieved. In the final step, layers of soil erosion and overlapping layers of soil conservation and erosion risk map of the formations. Results this study showed that the total level watershed risk class too low 9.3%, 12.7% risk classes low, 22.4% moderate risk class, 18.9% and 36.7% risk class to have high-risk class.

**Keywords:** erosion, mapping, remote sensing, ICONA, Taleghanrood